

九大工学部 正員 山内豊聰
同 同 〇安原一哉

1. まえがき

粘土の種類が多様多様であるように、粘土中に有機質土といっても多くの種類があるが、その生成形態の違いから大別すると、(1)泥炭および黒泥、(2)非泥炭質の沖積層有機質土、(3)火山灰系有機質土、(4)その他の有機質土に分けられるが、それらの間の力学的共通性については、統一した見解は得られていない。圧密についていへば、二次圧密が著しい土では広く認められているが、その原因や取扱いについては研究例も少なく、究明されるべき問題は多く残されている。本文は、泥炭（V-ラ層）とローム質火山灰土（黒ボク）を例にとり、その圧密特性の特異性を通常の圧密試験結果に基づいて考察し、さらにその超越する二次圧密の取扱いについては、圧密試験の整理にどのように生かせばよいかについて提案を行うものである。

2. 有機質土の圧密現象の持異性について

粘土の二次圧密の原因については従来よく言われているが、ここでそれをまとめておくと次のようになる。

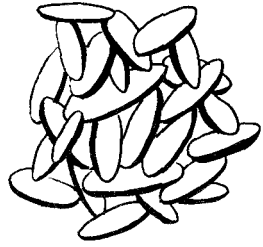


図-1. カドハウス構造 (Tamによる)

(1) 図-1. に示すように土の丸い粒子が刺片状の粒子がより峻は伏勢ハ対称可変く相対的に滑動し合う際、土粒子間に接触抵抗（これはきわめて小さいと考えられる）や土粒子と土粒子をよりよく吸着水層の間に粘性抵抗が働くために変形がフリーに時間遅れを示すため、(2) 側方拘束状態では、土は三次元的となるが、その際に生じる偏差（軸差）応力によって上記のようなフリー変形が大きく生ずるため、(3) 土粒子間をとりまく吸着水が塑性変形を有するため、等であるが有機質土については、以上の三項の外に少なくとも次の点を考慮に入れなければならない。(4) 有機質土の土粒子自体が双粒構造、packet structure といふべき構造をなしており、外力が粒子自体にかかると段階になると、その土粒子の間がき (micropore) から土粒子相互間の間がき (macropore) へ排水または排気を起すため。

いま仮に上記(4)の現象による体積変化が圧密を行う供試体中の平均主応力 σ_m によって起り、(1)、(2)の時間遅れのフリー σ が主として偏差応力 S_d によって起るものとすれば、有機質土の二次圧密変形 Δd_s は次式のよう変形を表現されるであろう。

$$\Delta d_s = \alpha \Delta \sigma_m + \beta S_d = \frac{1}{3} \alpha (\sigma'_1 + 2\sigma'_3) + \beta (\sigma'_1 - \sigma'_3) \text{----- (1a)}$$

二次圧密段階では間中キ水圧 $u \approx 0$ と考えられ、さらに $\sigma'_3/\sigma'_1 = \sigma'_3/\sigma'_1 = K_0 = K \approx 0.5$ (= 二に K_0 ; 静止土圧係数, K ; 主応力比) なる実験事実⁽²⁾を用いれば、(1a)式は、

$$\Delta d_s = \frac{1}{3} \alpha (\sigma'_1 + 2\sigma'_3) + \beta (\sigma'_1 - \sigma'_3) = \frac{1}{3} \alpha (1 + 2K_0) \sigma'_1 + \beta (1 - K_0) \sigma'_1 = \sigma'_1 (\frac{1}{3} \alpha + \frac{1}{2} \beta) \text{----- (1b)}$$

ここに α , β は比例定数である。(1a)式に於いては、等力応力状態においても体積クリープ σ が起るわけであるが、(1)あるいは(2)の滑動クリープ σ 主として偏差応力に基づくとしても、非均質あるいは非等力性の土であれば、等力応力のもとでもクリープ変形の起ることは十分考えられる。

さて通常の oedometer に於ける圧密試験によつて、時間沈下曲線を求め沖積粘土と比較してみよう。1例を図-2. に示す。ここで示した沖積粘土(△)に限らず通常の粘土の二次圧密部分は時間の対数に対し直線となる。すなわち沈下量を S とすると、

$$S = a + b \log t \quad \text{----- (2)}$$

の形で表わされる。ここに a, b は定数である。この直線性はローム傾火山灰土(黒ボク)では特に著しい。これは先の要因の他にロームの透水性が大きい(ため、一次圧密が早く終了する)ためもある。一方泥炭(γ層)の時間沈下曲線はこれらとは全く異なり、(2)式に従わない。むしろその変形量 ~ 応力 ~ 時間の関係は次式、

$$S = k_0 t^m t^n \quad \text{----- (3)}$$

で表わす方が一般的である。すなわち、両辺の対数をとれば、

$$\log S = \log k_0 + m \log t + n \log t \quad (4)$$

圧密試験におけるように荷重 σ が一定とみなされる場合には、

$$\log S = \log k_1 + n \log t \quad (5)$$

また時間 t が一定の場合には、

$$\log S = \log k_2 + m \log \sigma \quad (6)$$

となり、(5)式は $\log S \sim \log t$ 間に、

(6)式は $\log S \sim \log \sigma$ 間にそれぞれ直線性があることがわかるが、これらは実験的に確かめることができる(図-3, 図-4. に示す)。

近年外国の一部の文献⁽³⁾には、泥炭を対数的フリートを示す例も報告されており、泥炭にも幅広い種類のあることを示しており、圧密・沈下特性を細粒質泥炭と粗粒質泥炭に大別して説明する必要のあるものと思われる。

なお図-4. において $(S - S_0)$ を両軸比とみれば、 $\log S \sim \log \sigma$ に直線関係が得られることになり、従来軟弱粘土の $\log p$ 間、 $\log p$ が直線的であることと懸った事実のあることがわかる。この点において、Terzaghi 理論式は修正可能であ

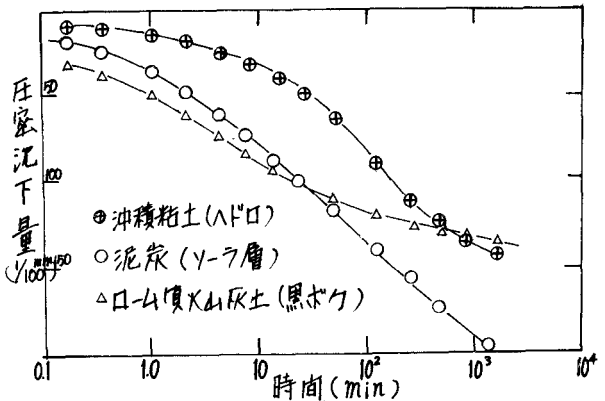


図-2. 時間・沈下曲線の比較

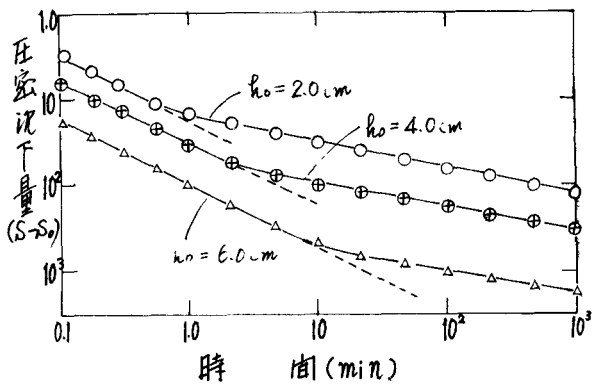


図-3. 両対数表示による泥炭の時間沈下曲線

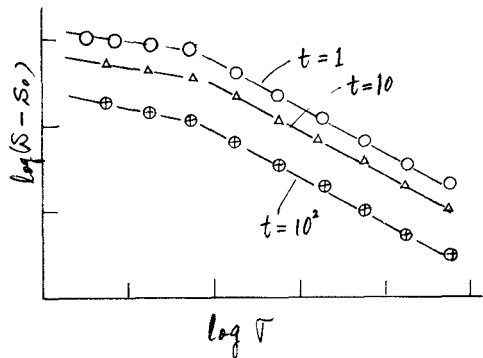


図-4. 時間一定の場合の圧密変形量と圧密荷重の関係

り、DavisやBardenらの修正理論とは多少異った数値解が得られている。

3. 有機質土の二次圧密の取扱いについて

有機質土の卓越する二次圧密の取扱いには二つの要因が考えられる。一つは沈下解析にどう生かすかであり、一つは圧密試験の整理にどう生かすかである。前者については、現在の圧密試験機や試験手法が種々の欠点を有しているために、その試験結果を全面的に信用して沈下解析に利用するのは少なからぬ誤りを犯かねないこと、また実際の現場では二次元的あるいは三次元的な側方流動現象が起る場合があるが、これと二次圧密との関係が明らかでない等の問題があり、いわゆる *bedometer* 試験の結果を実際の沈下解析にそのまま適用することについては、悲観的意見が大勢を占めている。一方三上⁽⁴⁾は二次圧密は圧密試験の整理にこそ生かすべきであることを主張し、今回改訂された圧密試験法の圧密試験自体はこのことが取り入れられている。すなわち、二次圧密を含めた体積圧縮係数および圧密係数は次のようにして求められる。

$$m_v = m_{v1} + m_{v2}, \quad C_v = k_0/m_v \cdot r_w = (k_0/m_{v1} \cdot r_w) \times (m_{v1}/m_v) = C_{v1} \times r \quad \text{--- (7)}$$

ここに、 m_{v1} , m_{v2} ; 夫々一次圧密、二次圧密の対についての体積圧縮係数、 C_{v1} ; 一次圧密の対についての圧密係数、 r ; 一次圧密比である。(7)式は載荷してから(2)時間後を全沈下終了点と見做すにきめておいた。著しく二次圧密を示す土については実用的ではない。すなわち、載荷後どこでクリフが収束するかを決めたりは推定が難しい。二次圧密の処理の問題は解決できないものから、これについては現段階では理論的に解決するのはかなり困難で、次の実験事実から推定が他はないものであり、そのともレフトで沈下が収束するまで実験を繰り返すとしても多大の時間的労力を消費し、実用性に全く欠ける。

著者の泥炭の対に著しく圧縮性を示すものについては、(7)式では不十分と考え以下のような方法を講じることにした。体積圧縮係数については、(7)式と同じであるが次のようにするのがわかりやすい。

$$m_v = m_{v1} + \sum_{t=0}^{t_{00}} m_{v2} \quad \text{--- (8)}$$

ここに、 t_{00} ; 一次圧密が終了したときの経過時間、 t_{00} ; 二次圧密が収束するまでの時間である。圧密係数については二次圧密を含めた全圧密過程にわたるものを C_v 、一次圧密の対についてのものを C_{v1} とすると、

$$C_{v1} = k_0/m_{v1} \cdot r_w, \quad C_v = k_0/m_v \cdot r_w \quad \text{--- (9)}$$

ここに、 k_0 ; 一次圧密中の透水係数、 k ; 全経過過程中の透水係数とする。また二次圧密中の透水係数を k_f とするとき、全経過透水係数 k は、

$$k = \frac{1}{2} (k_0 + k_f) \quad \text{--- (10)}$$

で表わしうるものとする。すなわち、 $C_v/C_{v1} = k m_{v1}/k_0 m_v = (k_0 + k_f) \cdot m_{v1}/2k_0 m_v$ --- (11)

より、 $C_v = \{ m_{v1} (k_0 + k_f) / 2k_0 m_v \} \times C_{v1} = (k_0 + k_f) / 2k_0 \times r \times C_{v1}$ --- (12)

いま近似的に k_0 を圧密開始前、 k_f を圧密終了時の透水係数と考えると、 $k_0/k_f = A$ --- (13)

と置き、 $k_0 = A k_f$ を(10)式へ代入すれば、 $C_v = \{ (A+1) / 2A \} \times C_{v1} \times r$ --- (14)

となる。(14)式を(7)式と比較し(8)式に(13)式を代入して(14)式と等しい。つまり(7)式は $k_0 = k_f$ 、すなわち相互に等しい荷重下では透水係数が不変であると考えられた場合に比べて(14)式は泥炭等の圧縮性の著しい土では、一段階の荷重下でも透水係数がかなり変化すると考えられ、(7)式は不十分といえる。また(14)式のAの値は粘土の種類や状態によって異なるであろうが、例えば泥炭を例にとると、浸透にするとその間々比と透水係数の割合は、

$$\log k = B e \quad (\text{--- } B \text{ は比例定数)} \quad \text{--- (15)}$$

(15)式を利用すれば、 $\log k_0 = B e_0$, $\log k_f = B e_f$ より $A = 10^{B(e_0 - e_f)}$ とし(14)式へ代入すると、

$$C_v = \frac{10^{B(e_0 - e_f)} + 1}{2 \times 10^{B(e_0 - e_f)}} \times C_{v1} \times r \quad \text{--- (16)}$$

となる。泥炭の圧密試験と透水試験の結果から(4)式に
 して求めた圧密係数 C_v と三笠に対する(7)式に求めた圧密
 係数 C_v との比較の一例を図-5.に示す。同一の試験結果から
 C_v や C_v を求めるときは V は一定だから、

$$C_v' = \frac{2A}{A+1} C_v \text{ ----- (17)}$$

で求められるが、^{圧密}連続時間について V が大きく変る場合が同
 題なのである。次にその長について触れてみる。

一次圧密に対する間加圧比の変化量を Δe_p 、二次圧密に対するものを Δe_s 、
 とし二次圧密が収束以後段階での間加圧比の変化量を $\Delta e_{s,\infty}$ とすべ
 ば、その時の二次圧密比 $V_{s,\infty}$ は次のように得る。

$$V_{s,\infty} = \frac{\Delta e_{s,\infty}}{\Delta e_p + \Delta e_{s,\infty}} \text{ ----- (18)}$$

対 $\log \sim \log$ 表示における二次圧密直線部分の直線の勾配 C_v とすると、 $\Delta e_{s,\infty} = C_v(t_{\infty} - t_{100})$ ----- (19)

(19)式を(18)式へ代入すると、 $V_{s,\infty} = \frac{C_v(t_{\infty} - t_{100})}{\Delta e_p + C_v(t_{\infty} - t_{100})}$ ----- (20)

ここに、 t_{100} ；二次圧密が収束お終りの時間、 t_{100} ；一次圧密が終った時の時間とすると、(20)式を变形すると、

$$t_{\infty} = \frac{\Delta e_p \cdot V_{s,\infty}}{C_v(1 - V_{s,\infty})} + t_{100} \text{ ----- (21)}$$

(21)式において $V_{s,\infty}$ の値、つまり(18)式の値が求まれば、 t_{∞} が求まるわけであるが、(18)式は $e_{s,\infty}$ が未知数である、
^{時間}これか求まれば t_{∞} が求まることになる。Wilsonらに於いて、二次圧密段階のある臭 (t_2) までの間加圧比の
 変化量 $\Delta e_{s,t_2}$ は、 $\Delta e_{s,t_2} = \int_{t_{100}}^{t_2} \left(\frac{de}{dt} \right) dt = \int_{t_{100}}^{t_2} C_v t^{\theta} dt = C \frac{1}{\theta+1} [t_2^{\theta+1} - t_{100}^{\theta+1}]$ ----- (22)

θ は圧密試験結果を $\log (de/dt) \sim \log t$ で表示した場合の二次圧密部分の直線の勾配である。実験に
 すれば $\theta+1 < 0$ なる事象から、 $\Delta e_{s,\infty} = (\Delta e_{s,t_2})_{t_2 \rightarrow \infty} = C \frac{1}{\theta+1} [-t_{100}^{\theta+1}]$ ----- (23)

以上について、二次圧密の収束時刻を定めることには注意し、二次圧密を各々の形に体積圧縮係数や圧密係数をより正しく
 求めることができ圧密試験の整理に役立つ(23)。

4.まとめ 以上をまとめると次のようになる。(1)有機質土の二次圧密は繰差応力によらず、^{初期}70°と平均主
 応力によらず micropore (1粒子対の間加圧) の容積変化に依存する。おのづから $\Delta s = \alpha V_m + \beta S_a$ の形で
 表わされる。(2)有機質土の土粒子骨格も粘土と同様に1ナノメータ構造を有していると仮定すれば、土質が不均質であ
 る非等方性の土では、何れも等方応力状態でも二次圧密は起る。(3)有機質土の圧密試験から得られる
 応力-変形-時間関係は、一般的に $d = k_1 t^m$ と表現できる。(4)泥炭の圧縮性の著しい土
 に対する圧密係数を求めるには、従来の方法では不十分であることが示された。 $C_v = (A+1)/2A$
 $\times C_m \times V$ (5)体積圧縮係数 $M_v = M_{v1} + \sum_{t=0}^{t_2} M_{v2}$ も二次圧密収束を推定できるのは正確な求め
 得ないが、ここではその試案を示した。

参考文献 (1)藤井浩一他；初期応力より二次圧密特性に肉付の泥炭，林学会論文集，Vol.11,3,
 1965 (2)Tschubaroff, G. P. 著，石井清丸訳；土質工学，上巻，(3)Nanrahan, E. T.; An Invest
 igation of Physical* (4)三笠正人；圧密試験の整理方法について，第19回工本学会年次学術講演会講演要録，1962
 (5)Watanabe, S.; Consolidation Characteristics of Peat, Soil and Foundation, vol. 5, No. 1,
 1964 (6)Wilson, N. E., et al; Rate of Consolidation for Peat, Proc. 6th Int. Conf.
 S.M.F.E., 1965 *Properties of Peat, geotechnique, vol. 4, 1954

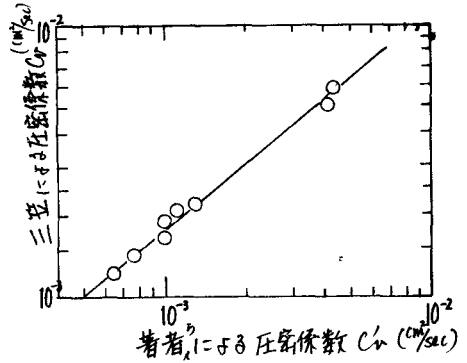


図-5. 圧密係数の比較